



# Light sources characterization and coherence properties. II / *Caracterización de fuentes de luz y propiedades de coherencia. II*

Prof. María L. Calvo

2nd May/2 de mayo 2012: 14:00-15:00

First ICO-ICTP-TWAS Central American Workshop in Lasers, Laser Applications and Laser Safety Regulations, San José de Costa Rica

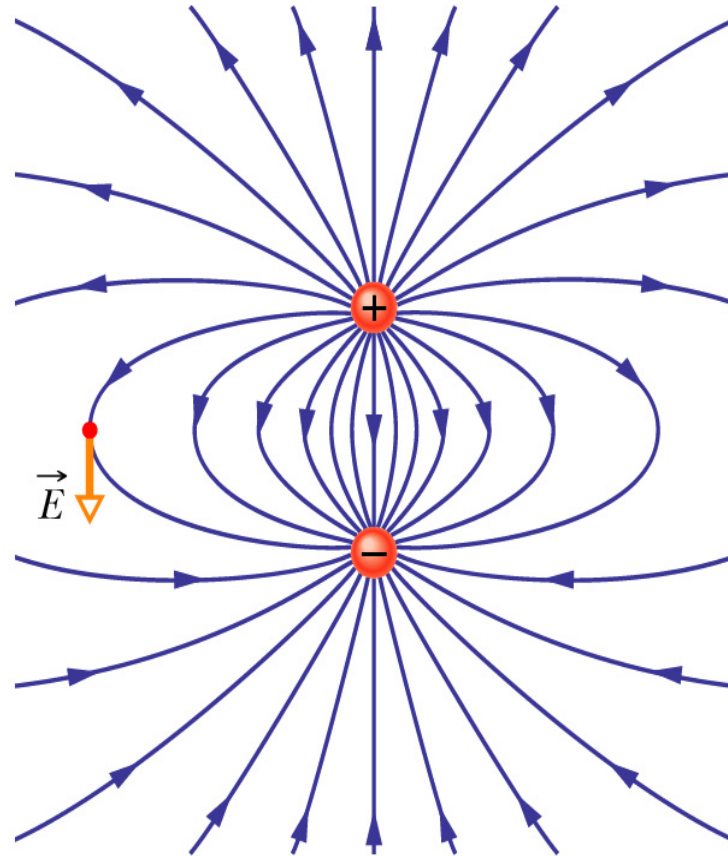
# Objetivos

- Comprender y aplicar el concepto de coherencia óptica asociado a la radiación electromagnética.
- Comprender el funcionamiento de interferómetros básicos por división de amplitud y por división del frente de ondas.
- Revisar algunos experimentos fundamentales desarrollados en el s. XX para comprender el concepto de coherencia espacio-temporal de la luz.

# La luz como radiación electromagnética

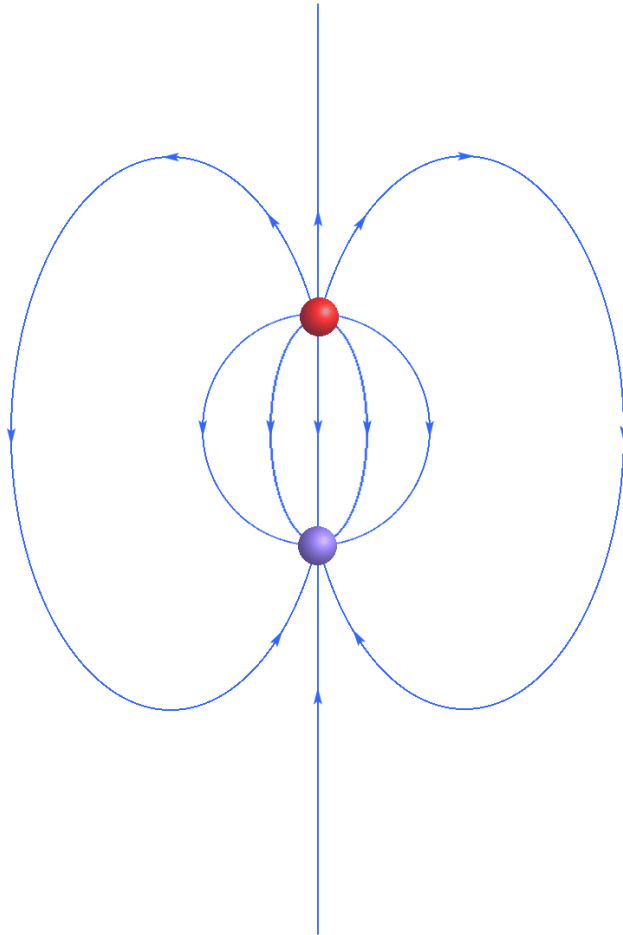
- Naturaleza electromagnética.
- Caracterización.
- Parámetros espacio-temporales.
- Propiedades de coherencia de señales ópticas espacio-temporales.

Líneas del campo eléctrico generadas por la presencia de dos cargas con signo opuesto



**Dipolo eléctrico**

# El dipolo magnético



- Las líneas circulan de **Norte** a **Sur**
- Las líneas de campo indican la dirección de la fuerza que se ejercería por un monopolo magnético en el Norte.

# La luz es un campo electromagnético

- Fuentes de luz que emiten en la banda óptica visible del espectro electromagnético

Rango de longitudes de onda de la radiación en la banda óptica visible:

$$400 \text{ nm} \leq \lambda \leq 750 \text{ nm}$$

Además:

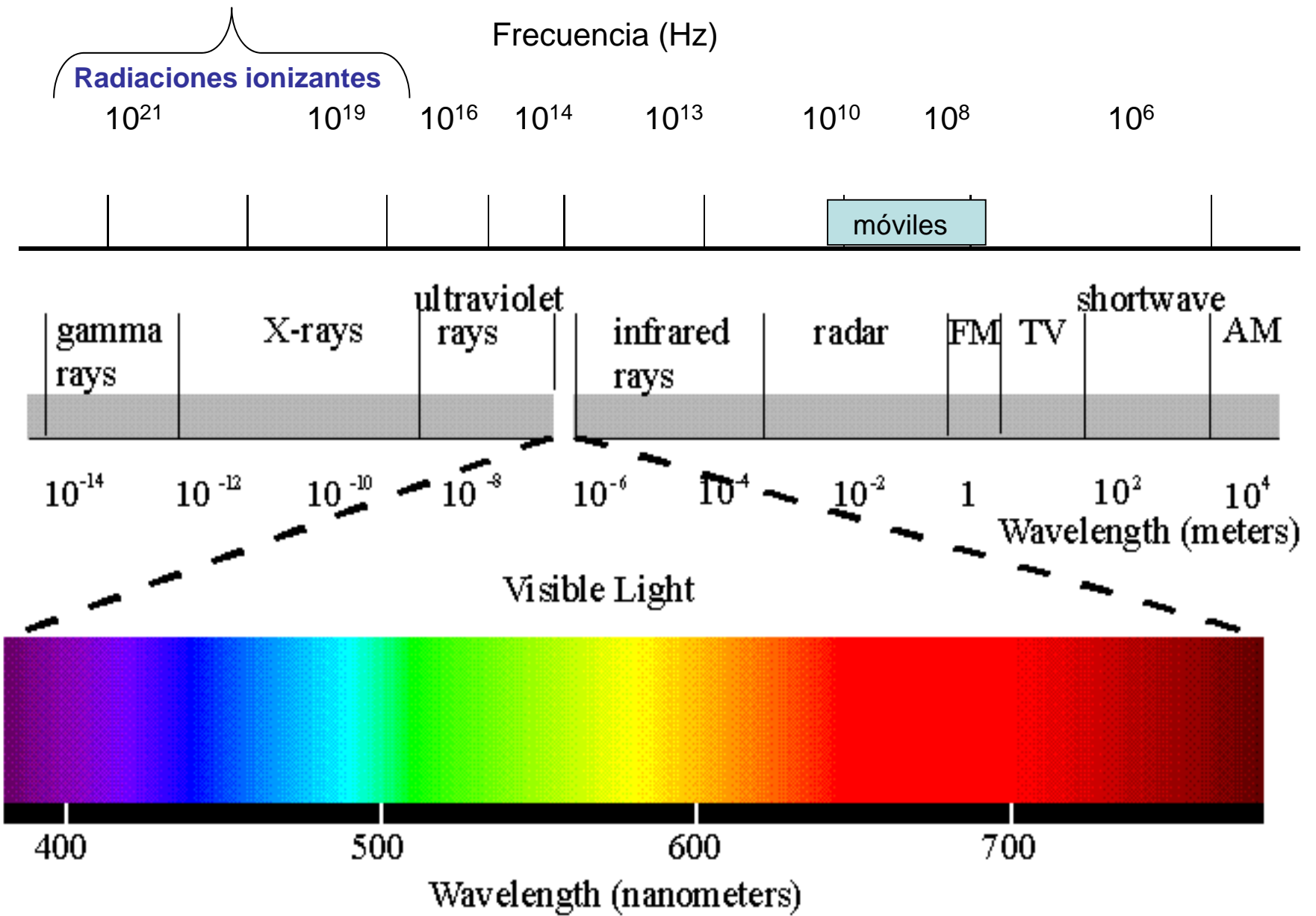
$$\Delta V \ll \lambda^3; r_a^3 \ll \Delta V \ll \lambda^3; \text{ Así: } r_a^3 \ll \Delta V \ll 0.064 \mu\text{m}^3$$

$r_a$ : dimensiones de un átomo.  $\Delta V$ : volumen infinitesimal definido en el medio.

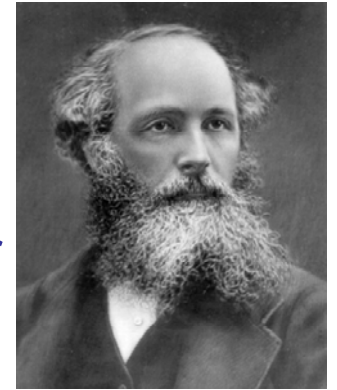
## •Consecuencias:

Tenemos que tratar a la luz como un campo vectorial, compuesto de campo eléctrico y campo magnético.

Necesitamos unas ecuaciones básicas para describir la propagación de la luz.



# Ecuaciones de Maxwell



James Clerk Maxwell

- Para estudiar la propagación de la luz tenemos que estudiar las condiciones en las que se propaga el campo electromagnético clásico: campo eléctrico  $\mathbf{E}(\mathbf{r}, t)$  y campo magnético  $\mathbf{H}(\mathbf{r}, t)$  macroscópicos.
- Éstos son funciones de posición:  $\mathbf{r} \equiv (x, y, z)$
- y tiempo  $t$ , respectivamente.
- Cumplen las ecuaciones de Maxwell macroscópicas:

$$\begin{aligned} \mathbf{D} &= \mathbf{E} + 4\pi\mathbf{P}; & \mathbf{B} &= \mathbf{H} + 4\pi\mathbf{M} \\ \mathbf{P} &= \chi\mathbf{E}; & \mathbf{M} &= \eta\mathbf{H} \\ \tilde{\epsilon} &= 1 + 4\pi\tilde{\chi}; & \tilde{\mu} &= 1 + 4\pi\tilde{\eta} \end{aligned}$$

$$\mathbf{j}_{\text{libre}} = \sigma\mathbf{E}$$

- Supondremos ausencia de cargas libres y medio no magnetizado

$$\begin{aligned} \nabla \times \mathbf{E} &= -\frac{\partial \mathbf{B}}{\partial t}; & \nabla \times \mathbf{H} &= \frac{\partial \mathbf{D}}{\partial t} \\ \nabla \cdot \mathbf{D} &= 0; & \nabla \cdot \mathbf{B} &= 0 \end{aligned}$$

# Aproximación escalar: concepto de potencial óptico

- Ecuación vectorial de ondas para el campo eléctrico (en aproximación monocromática):

$$\nabla^2 \mathbf{E} + k^2 \mathbf{E} = -k^2 [n^2(\mathbf{r}) - 1] \mathbf{E} + \nabla[\nabla \cdot \mathbf{E}]$$

$$4\pi\chi(\mathbf{r}) = n^2(\mathbf{r}) - 1$$

- De forma análoga se obtiene la ec. para el campo magnético.
- La ec. anterior pone de manifiesto que el cambio de polarización de  $\mathbf{E}$  como resultado de la interacción de la onda con el medio se debe al término:  $\nabla[\nabla \cdot \mathbf{E}]$
- Cuando la escala de variación de  $n(\mathbf{r})$  es mucho mayor que la longitud de onda de la radiación:  $\lambda = 2\pi/k$  ese término se puede despreciar:
- La despolarización del vector eléctrico es despreciable.
- La ec. de ondas es separable para cada componente cartesiana del campo:

$$\nabla^2 U(\mathbf{r}) + k^2 U(\mathbf{r}) = F(\mathbf{r}) U(\mathbf{r})$$

$$F(\mathbf{r}) = -k^2 [n^2(\mathbf{r}) - 1]$$

: Potencial óptico

# Señal espacio-temporal

- Definimos:

$$U = U(P, t)$$

- Supondremos que el comportamiento espacio-temporal de la señal puede representarse como producto de dos funciones de variables separadas:

$$U = U_0(P) f(t)$$

- La parte temporal de la señal cumple:

$$0 \leq \int_{-\infty}^{+\infty} |f(t)|^2 dt < +\infty$$

- Decimos que la señal temporal es medible.

# Ejemplos de señales espacio-temporales

- 1.- Una señal luminosa definida en la región visible del espectro electromagnético (400-700 nm ) y procesada por el ojo humano.  
Para  $\lambda$  del orden 700 nm la frecuencia es: 430 terahercios.  
Para  $\lambda$  del orden de 400 nm la frecuencia es: 750 terahercios.
- 2.- Una señal radar generada en frecuencias que corresponden a longitudes de onda entre 10<sup>-4</sup> cm.(micro ondas) y 1 m. (ondas radio).
- 3.- Señal óptica utilizada en comunicaciones por fibra óptica y generada en frecuencias asociadas al infrarrojo próximo y medio (1mm-10mm).
- 4.- Señales escalares que también pueden ser tratadas como señales temporales: la voz humana. Esta señal se genera por las vibraciones mecánicas originadas por las cuerdas vocales (20 – 14.000 Hz).  
Rango típico: 300 – 4.000 Hz.
- 5.- Utilizando un transductor (o conversor de señal) una señal acústica se puede convertir en otra dependiente del tiempo, por ejemplo en una corriente eléctrica variable,  $I(t)$  , o en una señal de voltaje variable,  $V(t)$ .
- 6.- El mismo tratamiento se puede realizar para otras cantidades físicas como la temperatura, el viento y la intensidad luminosa.
- 7.- Un ejemplo de señal espacio-temporal en cuatro dimensiones, lo constituye el cine holográfico.

# El concepto de coherencia temporal

- Representación analítica de  $U(P,t)$

$$U(P,t) = a(P,t) \exp(\phi(t) - i\bar{\omega}t)$$

## Señal cuasi-monocromática

- $a(P,t)$  es una función que fluctúa poco en un intervalo temporal  $\Delta t$ . Tal que:  $\Delta t \ll 2\pi/\Delta\omega$
- Podemos definir una correlación temporal entre  $a(P,t)$  y  $a(P, t+\Delta t)$ .
- También se definirán propiedades de correlación a través del espectro de frecuencias de  $U$ .

# Correlación temporal

- Los campos ópticos son altamente fluctuantes. La medida instantánea de la intensidad asociada no es realizable.
- Medimos un valor temporal promedio, en un intervalo de tiempo:

$$-T \leq t < T; \quad T \gg \frac{1}{\Delta\omega}$$

Definimos:

$$\langle f(t) \rangle = \lim_{T \rightarrow +\infty} \frac{1}{2T} \int_{-T}^{+T} f(t) dt$$

# Las fuentes de luz emiten un espectro de radiación: Representación del espectro de la señal

- Supongamos una señal temporal  $z(t)$  continua e integrable en todo el dominio temporal.

Definimos:

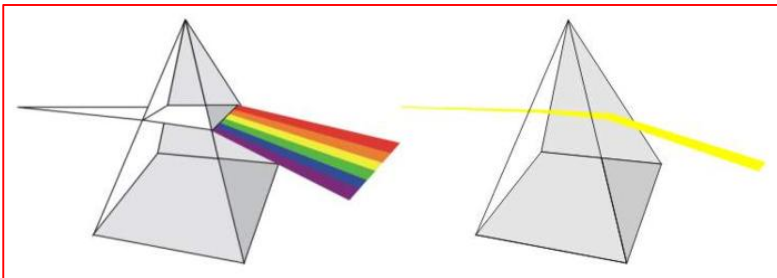
$$z(t) = \int_{-\infty}^{+\infty} \hat{z}(\nu) e^{-2\pi i \nu t} d\nu$$

- Donde:

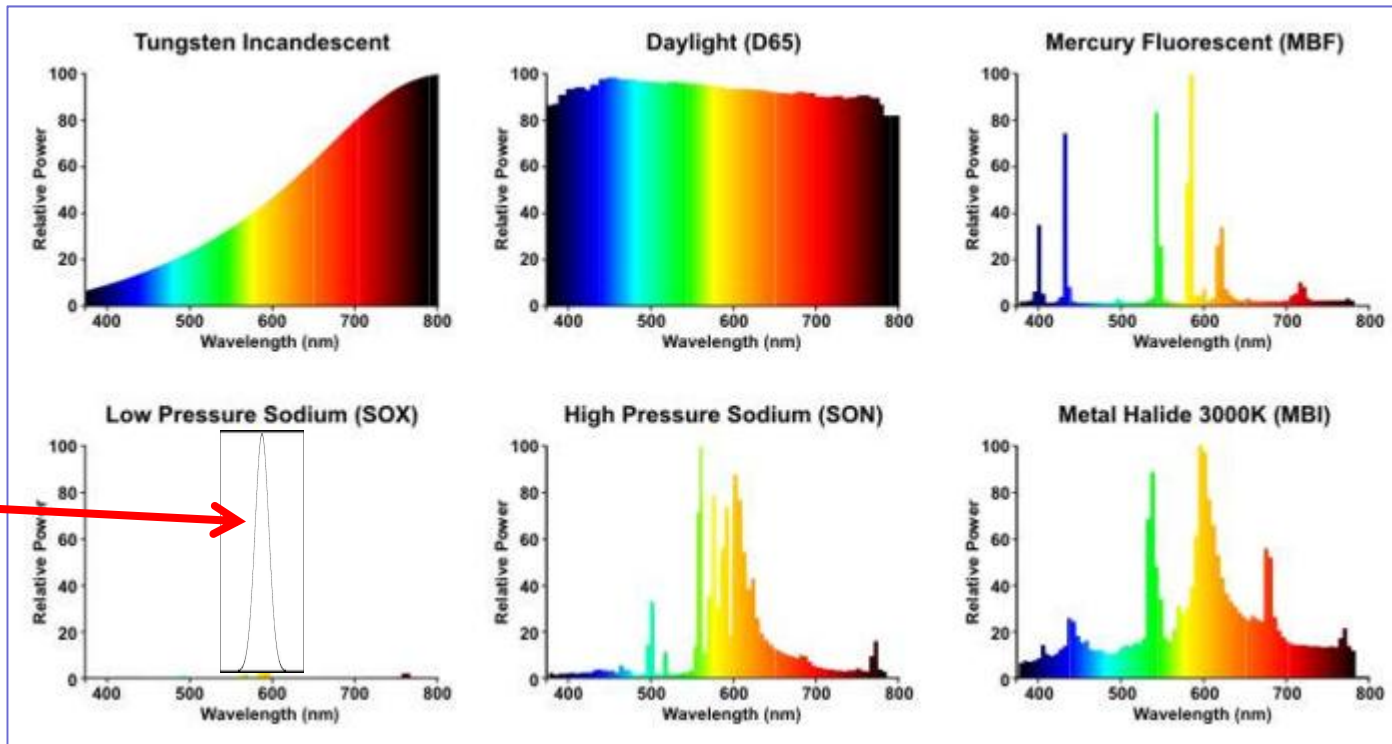
$$\begin{aligned} \hat{z}(\nu) &= \hat{u}(\nu); & \nu \geq 0 \\ &= 0; & \nu < 0 \end{aligned}$$

$\nu$ : es la frecuencia de emisión asociada al espectro de la fuente.

# Ejemplos de espectros

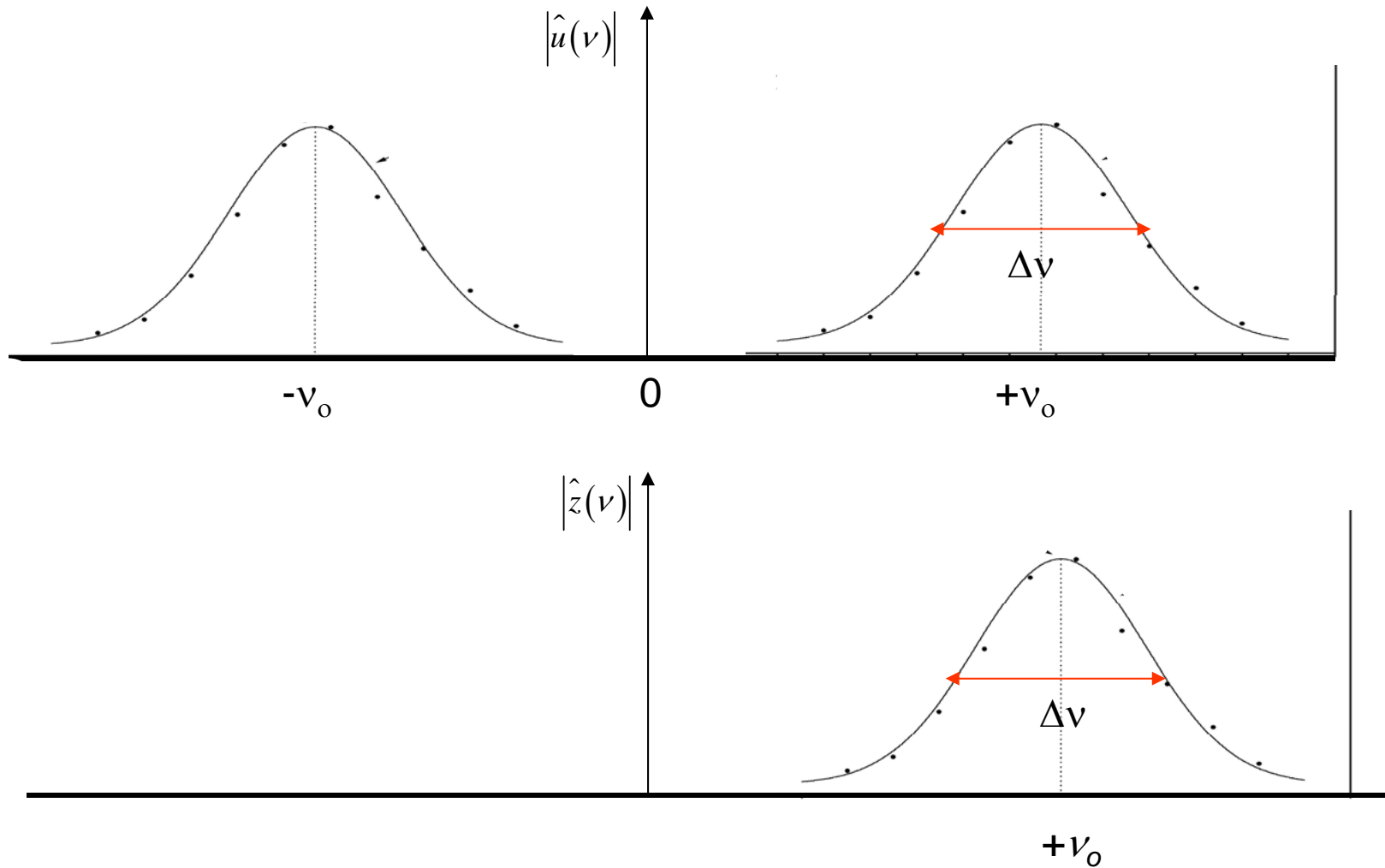


La luz blanca tiene un espectro continuo. La luz casi monocromática tiene una sola línea en el espectro.



El perfil de línea se ajusta a una función gaussiana

# Representación gráfica del espectro de una señal cuasi-monocromática



Espectro de la señal analítica asociada.

## Un caso particular ideal: Señal estrictamente monocromática

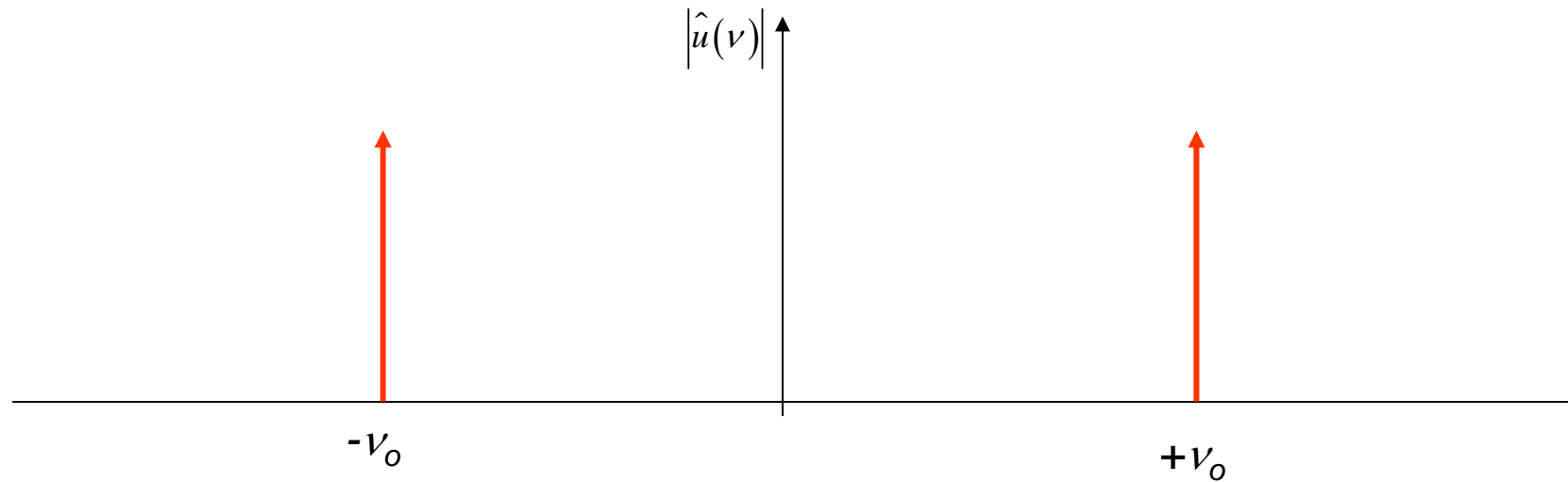
$$\begin{aligned}U(t) &= 2\operatorname{Re}\left(a \exp(-2\pi i\nu_0 t)\right) \\ &= a_0 \cos(\varphi_0 - 2\pi\nu_0 t)\end{aligned}$$

Donde  $a_0$  y  $\varphi_0$  son valores constantes.

- En este caso el espectro normalizado de la señal es:

$$\tilde{u}(\nu) = a_0 \left[ \delta(\nu - \nu_0) + \delta(\nu + \nu_0) \right]$$

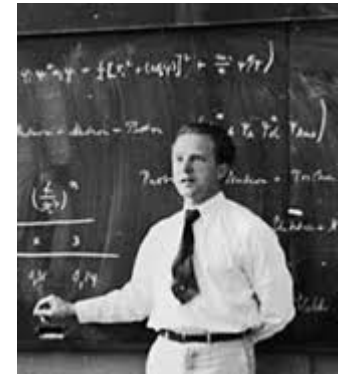
# Espectro de una señal idealmente monocromática



# Principio de incertidumbre de Heisenberg

- Una señal temporal  $f(t)$  tiene una varianza en el dominio  $t$ :

$$\sigma^2(t) = \frac{\int_{-\infty}^{+\infty} |t|^2 |f(t)|^2}{\int_{-\infty}^{+\infty} |f(t)|^2}$$



Werner Heisenberg

- Y otra varianza en el dominio de frecuencias o dominio espectral:

$$\sigma^2(\omega) = \frac{\int_{-\infty}^{+\infty} |\omega|^2 |F(\omega)|^2}{\int_{-\infty}^{+\infty} |F(\omega)|^2}$$

- El principio de incertidumbre de Heisenberg implica:

$$\sigma^2(t) \sigma^2(\omega) = \frac{\int_{-\infty}^{+\infty} |t|^2 |f(t)|^2}{\int_{-\infty}^{+\infty} |f(t)|^2} \frac{\int_{-\infty}^{+\infty} |\omega|^2 |F(\omega)|^2}{\int_{-\infty}^{+\infty} |F(\omega)|^2} \geq \frac{1}{4}$$

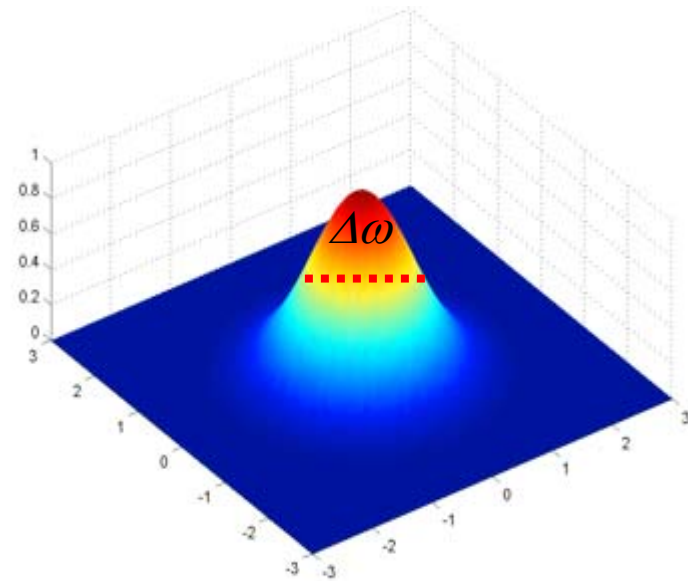
La señal temporal óptima para que se cumpla la igualdad en el principio de incertidumbre es una señal Gaussiana:

$$f(t) = e^{-\frac{t^2}{2\sigma_0^2}}$$

Cuya transformada de Fourier es:

$$F(\omega) = \sigma_0 \left( \exp -\frac{\omega^2}{2\sigma_0^2} \right)$$

Se tiene que cumplir que  $f(t)$  sea derivable y con derivada primera finita.



---

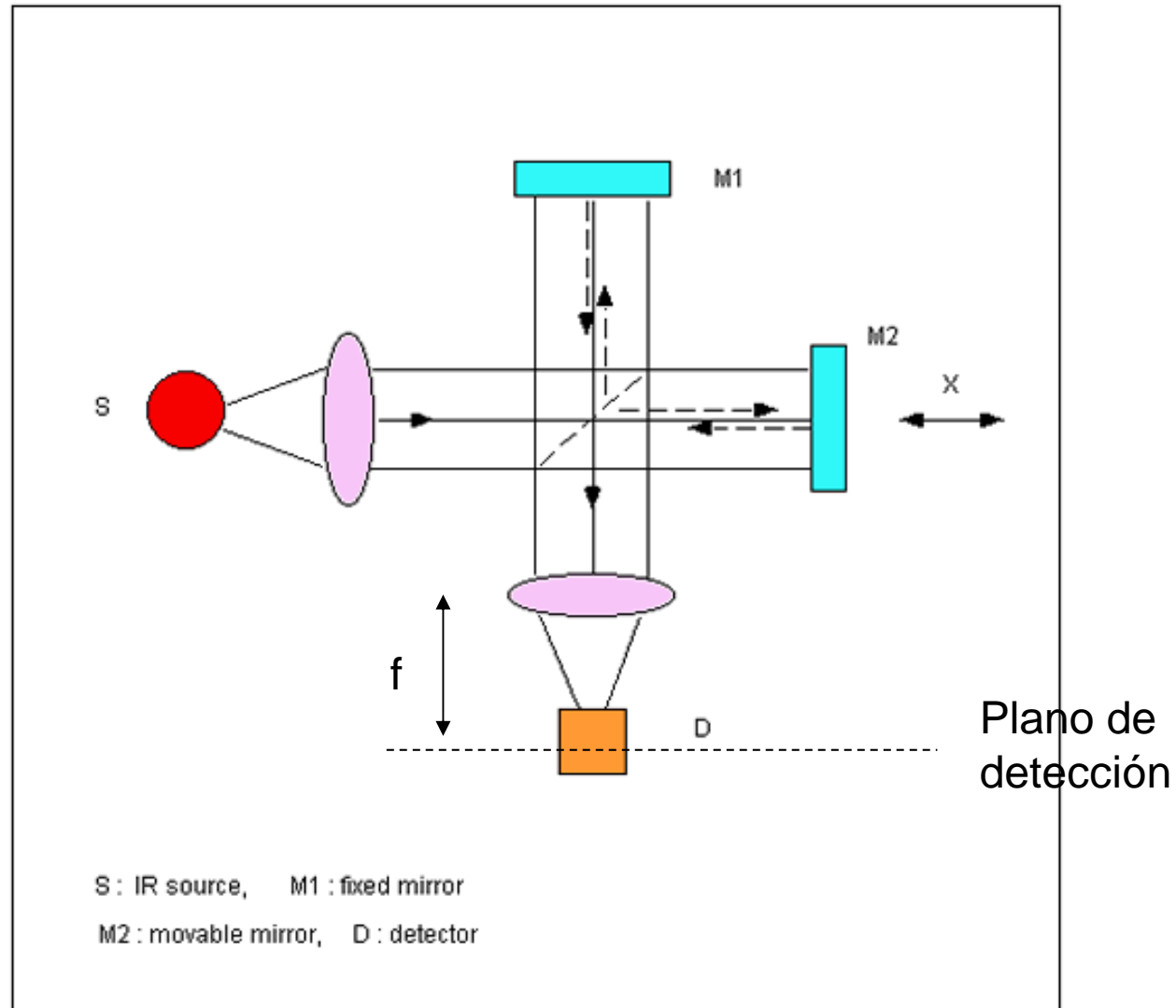
NOTA: En algunos libros de texto se puede encontrar 2TW, en este caso TBP se expresa en Hercios.

$$\sigma^2(t)\sigma^2(\omega) \geq \frac{1}{4\pi}$$

# Tiempo de coherencia

- Ejemplos:
- Fuente térmica:  $\Delta\omega$  del orden de  $10^8 \text{ s}^{-1}$ .  
Tiempo de coherencia:  $\Delta t$  del orden de  $10^{-8} \text{ s}$ .  
Longitud de coherencia del orden de 19 m.
- Láser estabilizado:  $\Delta\omega$  del orden de  $10^4 \text{ s}^{-1}$ .  
Tiempo de coherencia:  $\Delta t$  del orden de  $10^{-4} \text{ s}$ .  
Longitud de coherencia del orden de 190 km.

# Interferómetro de Michelson



# Detección de la intensidad

El detector detecta el promedio temporal de la intensidad instantánea:

$$I_E(\bar{r}, t) = \left| \bar{E}(\bar{r}, t) \right|^2$$

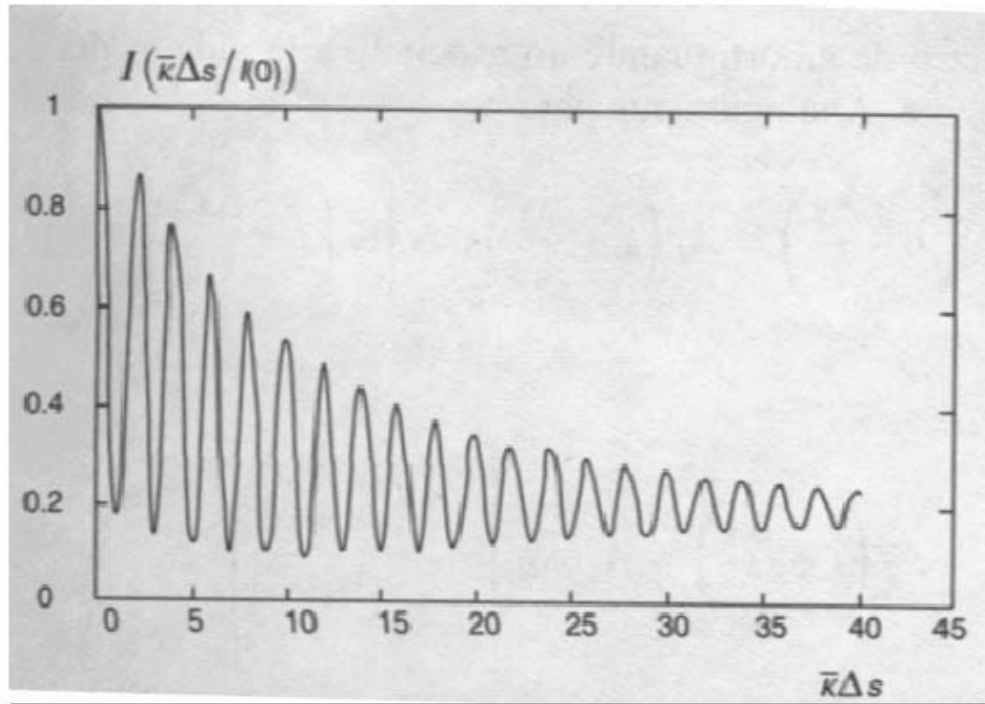
Representamos la distribución de la intensidad en el plano de detección del interferómetro:

$$\begin{aligned} \bar{I} &= \langle I(\bar{r}, t) \rangle = \int_{-\infty}^{+\infty} I(\bar{r}, t) dt = \langle |U_1(\bar{r}, t) + U_2(\bar{r}, t)|^2 \rangle \\ &= \langle |U_1(\bar{r}, t)|^2 \rangle + \langle |U_2(\bar{r}, t)|^2 \rangle + 2 \langle \text{Re} U_1^* U_2 \rangle \end{aligned}$$

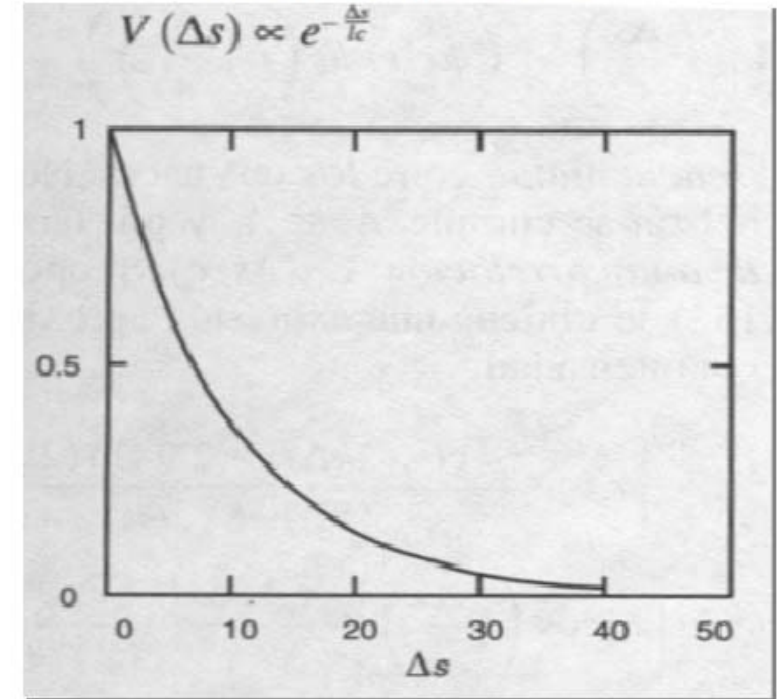
Donde, tenemos la función de coherencia mútua, para el caso del interferómetro de Michelson:

$$\Gamma_{11}(\tau) = \langle U_1^* U_1 \rangle$$

## INTERFEROGRAMA



## VISIBILIDAD



**CONDICIONES DE OBSERVACIÓN:**  $2d \leq c\tau_c \leq l_c$

**VISIBILIDAD:**

$$V(\Delta s) \propto \exp\left(-\frac{\Delta s}{l_c}\right)$$

**En el experimento:**  $l_c = 8 \text{ mm.}$  ;  $\tau_c = 3 \times 10^{-11} \text{ s} = 3 \times 10^{-2} \text{ ns}$

**Donde:**  $\tau_c \Delta \nu \leq 1$

**;  $\Delta \nu$ : anchura media del espectro**

# Clasificación de las fuentes de radiación

## Fuentes luminosas:

- 1.- Fuentes naturales de radiación óptica
- 2.- Descargas eléctricas en gas a baja presión
- 3.- Fenómenos de fluorescencia

Fluctuaciones originadas por emisión espontánea de la radiación de los átomos que generan el campo.

- 4.- Láseres : Fluctuaciones en la fase de la señal (estabilizado)

—————→ **Monomodo**: Campo sinusoidal

- 5.- Descargas en gas a alta presión —————→ Distribución lorentziana

### Campo térmico:

Distribución gaussiana del espectro asociado al interferograma